

せん断変形を考慮した単一材の座屈解析

秋田大学土木工学科 正員 稼農 知徳
 千葉県庁 正員 宇野 秀信
 秋田大学大学院 学生員 ○長谷部 薫

1. まえがき 著者は薄肉断面直線材のせん断変形解析を独自の方法で研究しているが、その主な基本的仮定は (1) 断面は不変である。(2) 断面を構成する板の板厚は薄肉である。(3) 薄肉要素の中心面に垂直で部材軸線に平行な面内でのせん断ひずみは無視する。などがあつた。せん断変形を考慮した理論は2次元あるいは3次元問題として解析されべきであるが構理論の範囲内でより精密な解析ができれば大きな意義があると考えられる。そこで上記の仮定のもとで変位場を仮定するための理論展開が行われるがせん断応力とつり合う直応力には修正された直応力を用いられている。(第1次近似値としては零とされ、これは初等弾性理論に相当する。) この場合遠次、近似理論が展開されるわけが解が収束しななければならないが、数値計算によつて第2次近似で解が収束していることが確かめられている。本論文はこのせん断変形を考慮した理論から得られたたすみ場を用いて、せん断変形を考慮した単一材の曲げ座屈解析を試みたものである。せん断変形を考慮した曲げ座屈に関しては Timoshenko のその著書¹⁾に示している。すなわち単一部材の曲げ座屈におけるせん断変形の影響はせん断座屈荷重に与える影響は微小なものにすぎない。本論文においても、その影響は微小ではあるが、文献1)の式とは異なる点があることと、その影響が大きいと推測されるわじり座屈、横倒れ座屈および常組の座屈への展開が容易であることなどが本論文の主要な特徴としてあげられる。ここでは単一材の曲げ座屈について座屈を支配する基礎方程式を誘導し、種々の境界条件に対する座屈荷重の基本式はすべて類似形式であることを示す。

2. 曲げ座屈を支配する基礎方程式

曲げ座屈を支配する基礎方程式を増分理論による有限変形問題として誘導しよう。変位関数とひずみ成分はせん断変形を考慮した薄肉断面直線材の解析²⁾よりさらに、変位の2次の項を考慮して次のようにならされる。

変位関数:

$$\left. \begin{aligned} \bar{u} &= u(z), \\ \bar{v} &= 0, \\ \bar{w} &= w(z) - x u'(z) + \frac{E}{4} B_y U(z) \end{aligned} \right\} (1)_{a-c}$$

ひずみ成分:

$$\left. \begin{aligned} \varepsilon_z &= \varepsilon_z^L + \varepsilon_z^N, \\ \varepsilon_z^L &= w' - x u'' + \frac{E}{4} B_y U', \\ \varepsilon_z^N &= \frac{1}{2} (u')^2, \\ \gamma_{xz} &= \gamma_{xz}^L + \gamma_{xz}^N, \\ \gamma_{xz}^L &= \frac{E}{4} \frac{S_y}{I} U, \quad \gamma_{xz}^N = 0 \end{aligned} \right\} (2)_{a-f}$$

座屈変形前の変位支配方程式は式(3)で与えられる。

$$\int_{z_1}^{z_2} [\sigma_z \delta \varepsilon_z^L + \tau_{xz} \delta \gamma_{xz}^L] dF dz - [P \cdot \delta w]_{z_1}^{z_2} = 0 \quad (3)$$

式(2)を用いて部分積分を実行した結果より、次のよう なつり合い式と境界条件を得る。

文献1) S.P.TIMOSHENKO, J.M.GERE; Theory of Elastic Stability, McGRAW-HILL, 1963

なつり合い式と境界条件

を得る。

つり合い式:

$$\left. \begin{aligned} N_z^0 &= 0, \\ M_y^0 &= 0, \\ H_y^0 - F_z^0 &= 0 \end{aligned} \right\} (4)_{a-c}$$

境界条件: $z = z_1$ および $z = z_2$ において、

$$\left. \begin{aligned} w &= 0 \quad \text{固定端}, N_z^0 = P, \\ u &= 0 \quad \text{固定端}, M_y^0 = 0, \\ u' &= 0 \quad \text{自由端}, M_y^0 = 0, \\ U &= 0 \quad \text{自由端}, H_y^0 = 0 \end{aligned} \right\} (5)_{a-d}$$

式(4)の解は、 $N_z^0 = P, M_y^0 = 0, H_y^0 = -F_z^0(l-z)$ (6)_{a-c}

座屈変形後の変位支配方程式は式(7)で与えられる。

$$\int_{z_1}^{z_2} [\sigma_z \delta \varepsilon_z^L + \tau_{xz} \delta \gamma_{xz}^L] dF dz + \int_{z_1}^{z_2} \sigma_z \delta \varepsilon_z^N dF dz = 0 \quad (7)$$

式(2)を用いて部分積分を実行した結果より次のよう

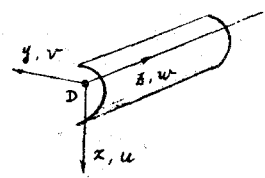


図-1. 座標と変位

つり合い式:

$$\left. \begin{aligned} N_2 &= 0 \\ M_2' - (N_2 \cdot U)' &= 0 \\ H_2' - H_2 &= 0 \end{aligned} \right\} (8) a-c$$

境界条件: $z=z_1$ および $z=z_2$ において,

$$\left. \begin{aligned} w &= 0 \text{ ならば, } N_2 = 0 \\ u &= 0 \text{ ならば, } M_2' + N_2 \cdot U' = 0 \\ u' &= 0 \text{ ならば, } M_2 = 0 \\ U &= 0 \text{ ならば, } H_2 = 0 \end{aligned} \right\} (9) a-d$$

以上の方程式において次のよう断面力を定義している。

$$\begin{aligned} N_2 &= \int_H \sigma_x dF = E \int_H \epsilon_x dF = EA w', \\ M_2 &= \int_H \sigma_x z dF = E \int_H \epsilon_x z dF = -EJ_y u'' + E_g K_y U', \\ H_2 &= \int_H \sigma_x \frac{E}{G} B_y dF = E \int_H \epsilon_x \frac{E}{G} B_y dF = -E_g K_y u' + E_{g2} R_y U', \\ F_2 &= \int_H \tau_{xy} \frac{E}{G} dF = \int_H \gamma_{xy} \frac{E}{G} dF = E_g D_y U \end{aligned} \quad (10) a-d$$

そこで,

$$\left. \begin{aligned} \int_H x dF &= \int_H B_y dF = 0, \quad A = \int_H dF, \\ J_y &= \int_H x^2 dF, \quad K_y = \int_H x B_y dF, \\ K_g &= \int_H x \frac{E}{G} B_y dF, \quad D_y = \int_H \frac{B_y^2}{G} dF, \\ E_g &= \frac{E^2}{G}, \quad E_{g2} = \frac{E^2}{G^2} \end{aligned} \right\} (11) a-d$$

式(8)と式(10)を代入し式(6)を考慮すると、曲げ座屈を支配する基礎方程式が求められる。

$$\left. \begin{aligned} EA w'' &= 0 \\ -EJ_y u'' + P u' + E_g K_y U'' &= 0 \\ -E_g K_y u'' + E_{g2} R_y U' - E_g D_y U &= 0 \end{aligned} \right\} (12) a-c$$

式(9)の境界条件も次のよう変形される。

$$\left. \begin{aligned} z=z_1 \text{ および } z=z_2 \text{ において,} \\ w &= 0 \text{ ならば, } EA w' = 0 \\ u &= 0 \text{ ならば, } -EJ_y u'' + P u' + E_g K_y U'' = 0 \\ u' &= 0 \text{ ならば, } -EJ_y u' + E_g K_y U' = 0 \\ U &= 0 \text{ ならば, } -E_g K_y u' + E_{g2} R_y U' = 0 \end{aligned} \right\} (13) a-d$$

さらに式(12)_{a-c}より w, u, U を消去して、次の1階常微分方程式を得る。

$$U'' - (R^2 - n\alpha)U' - R^2\alpha U = 0 \quad (14)$$

$$\text{ここで, } \eta = \frac{1}{1 - \frac{K_y}{GJ_y}}, \quad R^2 = \frac{G}{E} \pi \frac{D_y}{R_y}, \quad \alpha = \frac{P}{EJ_y}$$

式(13)の境界条件もまた、式(15)となる。

$z=z_1$ および $z=z_2$ において,

$$\left. \begin{aligned} \eta U'' - \{R^2(n-1) - n\alpha\} U' = 0 \text{ ならば,} \\ U'' + n\alpha U' = 0 \\ u = 0 \text{ ならば, } U'' + n\alpha U' = 0 \\ u' = 0 \text{ ならば, } EJ_y U'' / \eta = 0 \end{aligned} \right\} (15) a-c$$

3. 基礎微分方程式の一般解。

式(14)の一般解は,

$$U = C_0 + C_1 z + C_2 \sin \lambda_3 z + C_3 \cos \lambda_3 z + C_4 \sinh \lambda_4 z + C_5 \cosh \lambda_4 z \quad (16)$$

$$\lambda_3 = \frac{1}{2} \left\{ \sqrt{(R^2 - n\alpha)^2 + 4R^2\alpha} - (R^2 - n\alpha) \right\}$$

$$\lambda_4 = \frac{1}{2} \left\{ \sqrt{(R^2 - n\alpha)^2 + 4R^2\alpha} + (R^2 - n\alpha) \right\} \quad (17) a-b$$

4. 中心圧縮枝の座屈荷重

式(16)、(17)より式(15)の境界条件を考慮して中心圧縮枝の座屈荷重を求めると、

$$P = \frac{1 + \frac{R_y}{n G D_y J_y} P_e}{1 + \frac{R_y}{G D_y J_y} P_e} P_e \quad (18)$$

n が非常に大きいときは、

$$P = \frac{P_e}{1 + \frac{R_y}{G D_y J_y} P_e} \quad (19)$$

ここで、 P_e は Euler の座屈荷重で式(20)である。

$$\left. \begin{aligned} \text{両端回転端枝} & P_e = \pi^2 EJ_y / l^2 \\ \text{一端回転, 他端固定枝} & P_e = 2.046 \pi^2 EJ_y / l^2 \\ \text{両端固定枝} & P_e = 4 \pi^2 EJ_y / l^2 \\ \text{一端固定, 他端自由枝} & P_e = 0.25 \pi^2 EJ_y / l^2 \end{aligned} \right\} (20) a-d$$

5. 数値計算 長方形断面の場合について計算例を示す。

$$\begin{aligned} F &= ft, \quad J_y = ft^4/12, \quad K_y = -ft^4/120, \quad D_y = ft^4/120, \\ R_y &= 17ft^4/(120 \times 168), \quad \eta = 85, \quad \kappa = 6/5. \end{aligned}$$

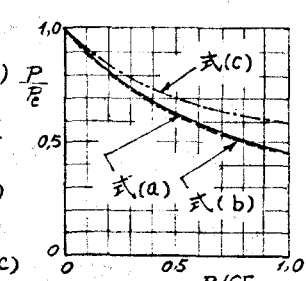
式(18)より,

$$\frac{P}{P_e} = \frac{1 + 0.0143 R_y / G F}{1 + 0.2143 R_y / G F} \quad (a)$$

文献(1)で示された座屈荷重

$$\frac{P}{P_e} = \frac{1}{1 + \kappa R_y / G F} \quad (b)$$

$$\frac{P}{P_e} = \frac{\sqrt{1 + \kappa R_y / G F} - 1}{2 \kappa R_y / G F} \quad (c)$$



I-形断面の場合は当日発表物。 図-2